

# Title : “The Intrinsic Quantum Oscillator (IQuO)”

Author: Giovanni Guido

Affiliation: Dipartimento di Fisica del Liceo Scientifico Statale “C. Cavalleri” di Parabiago (MI)

e-mail:gioguido54@libero.it

Address of corresponding author: via Terni 16 Canegrate ( Milano ) cap 20010

Title of the manuscript: " “The Intrinsic Quantum Oscillator (IQuO)”

Section Theoretical : Quantum Field Theory

## Abstract

**In questo articolo elaboriamo l’oscillatore quantistico corrispondente ad un oscillatore classico forzato che ci potrebbe permettere di trattare l’interazione tra particelle in un modo nuovo.**

**Per costruire l’oscillatore quantistico forzato una nuova forma degli operatori di Dirac ( $a, a^+$ ) dell’oscillatore quantistico viene proposta.**

**Si trova un oscillatore quantistico più elementare di quello già noto che è composto da due sub-oscillatori con due “semi-quant” ( $\frac{1}{2}\hbar$ ) che si muovono da un sub-oscillatore all’altro.**

**Le nuove relazioni (parentesi) di commutazione degli operatori di semi-quanto sono calcolate e un grado di libertà interno aggiuntivo è individuato.**

**Si avanza l’idea che lo spazio interno costruito potrebbe essere correlato con il segno della carica elettrica.**

## Introduzione

In questo studio mostriamo la doppia struttura di un oscillatore forzato, dove le caratteristiche elastiche e inerziali sono espresse in una rappresentazione a due componenti dell’oscillatore.

Considerando tuttavia che un oggetto “microscopico”, durante l’osservazione, sia un oggetto “perturbato”, utilizzeremo la rappresentazione a due componenti dell’oscillatore quantistico come se l’oscillatore fosse un oscillatore forzato.

Questa scelta di rappresentazione (modello descrittivo) risulterebbe pertanto più appropriata a descrivere l’interazione tra particelle, vedendo queste come dei campi con oscillatori accoppiati.

Guardando la forma ( $\Psi$ ) della funzione d’onda associata all’oscillatore quantistico, si congetture che questo sia composto da due sub-oscillatori.

Inoltre avendo definito un oscillatore quantistico a due componenti, noi possiamo trovare di esso una struttura più elementare costruita con “semi-quant” ( $\frac{1}{2}\hbar$ ) che si muovono nei due sub-oscillatori.

Rileviamo che è possibile determinare la presenza di un nuovo grado di libertà nell’oscillatore quantistico prendendo in considerazione la distribuzione dei semi-quant e il loro movimento in relazione con il verso di rotazione della fase.

L’oscillatore a semi-quant appare così più descrittivo che l’oscillatore quantistico “standard”, perché ci permette, attraverso uno spazio interno, di spiegare il concetto di carica elettrica, e di definire, in modo più essenziale e chiaro, l’interazione elettrica tra le particelle elementari.

Nel primo paragrafo, partendo dal oscillatore forzato, l’oscillatore quantistico viene sviluppato con due componenti in cui gli operatori di annichilazione ( $a$ ) e della creazione ( $a^+$ ) sono espressi in due componenti: una componente elastica e l’altra inerziale.

Nel secondo paragrafo una nuova forma degli operatori di Dirac ( $a, a^+$ ) dell’oscillatore quantistico viene proposta. Introduciamo nella forma esponenziale di ( $a, a^+$ ) l’operatore  $r$  di rotazione della fase e distinguiamo l’operatore numero  $n$  ( numero di quanti) nei due ( $a, a^+$ ) operatori.

Questo ci permette di superare una difficoltà concettuale presente negli operatori del Dirac.

Inoltre, questa nuova forma ci permette di determinare (nel terzo paragrafo) la forma matematica dell’operatore a semi-quant, le nuove parentesi di commutazione e, infine, la distribuzione dei semi-quant nei due sub-oscillatori componenti l’oscillatore quantistico.

**Par. 1) La forma a due componenti degli operatori ( $\mathbf{a}, \mathbf{a}^+$ )**

Consideriamo un oscillatore classico nelle coordinate  $(q, p)$  del piano delle fasi, con Hamiltoniana

$$H = \left( \frac{p^2}{2m} \right) + \left( \frac{m\omega^2 q^2}{2} \right) \quad (1)$$

ed equazioni del moto

$$\begin{cases} \frac{dp}{dt} = -m\omega^2 q \\ \frac{dq}{dt} = \left( \frac{p}{m} \right) \end{cases} \quad (2)$$

con soluzioni

$$\begin{cases} q(t) = q(0)\cos\omega t + \left( \frac{p(0)}{m\omega} \right) \sin\omega t \\ p(t) = p(0)\cos\omega t - (m\omega)q(0)\sin\omega t \end{cases} \quad (3)$$

Passando alle  $(\mathbf{a}, \mathbf{a}^+)$  coordinate:

$$\mathbf{a} = \left[ \left( \sqrt{\frac{m\omega}{2\hbar}} \right) \left( q + \frac{ip}{m\omega} \right) \right], \quad \mathbf{a}^+ = \left[ \left( \sqrt{\frac{m\omega}{2\hbar}} \right) \left( q - \frac{ip}{m\omega} \right) \right] \quad (4)$$

avremo le seguenti equazione del moto:

$$\begin{cases} \left( \frac{d\mathbf{a}_t}{dt} \right) = -i\omega\mathbf{a}_t \\ \left( \frac{d\mathbf{a}_t^+}{dt} \right) = i\omega\mathbf{a}_t^+ \end{cases} \quad (5)$$

con soluzioni:

$$(\mathbf{a}_t = a_0 \exp(-i\omega t) \quad , \quad \mathbf{a}_t^+ = a_0^+ \exp(i\omega t) ) \quad (6)$$

nel piano delle coordinate  $(\mathbf{a}, \mathbf{a}^+)$  le soluzioni potrebbero essere correlate ad una coppia di vettori  $(\mathbf{Oa}, \mathbf{Oa}^+)$  con rotazione di fase opposta.

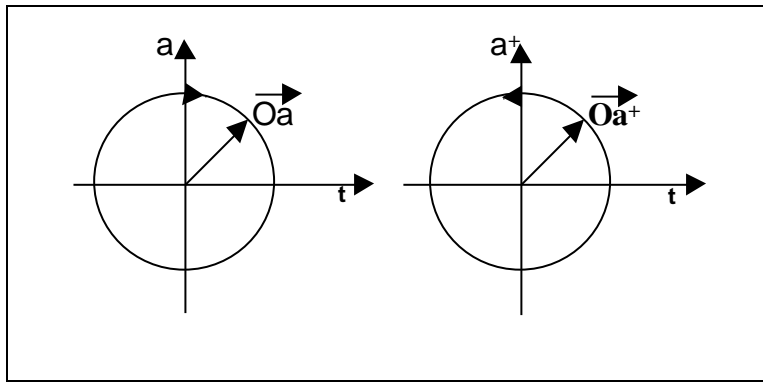


Fig. 1

Nella meccanica classica queste due rotazioni non sono evidenziate.

Le due possibilità sono nascoste: un pendolo che oscilla a ritroso nel tempo (rotazione oraria della curva rappresentativa in Fig. 1) è indistinguibile da uno che oscilla avanti nel tempo (rotazione antioraria).

Ci chiediamo se può esistere una particolare "fisica" in cui queste due possibilità (stati) possono manifestarsi in qualche fenomeno fisico collegato ad oscillazioni.

Si può pensare che **in questo universo ogni stato possibile di un sistema fisico possa trovare sempre manifestazione in un qualche fenomeno.**

In questa particolare "fisica" la presenza delle due possibilità di rotazione dovrebbe determinare una "qualche particolare" differenza tra i vettori di rotazione della fase, ovvero ( $\mathbf{Oa} \neq \mathbf{Oa}^+$ ) che poi dovrà esprimersi matematicamente e fisicamente.

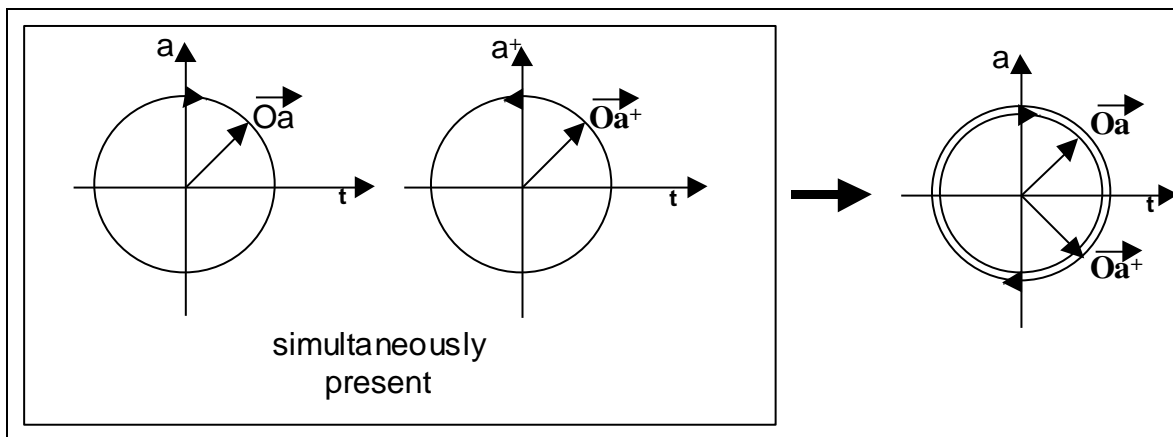


Fig. 2

La nuova fisica è la fisica quantistica e l'oscillatore "particolare" è quello quantistico!

Infatti, nell'osc.quantistico [1] la differenza ( $\mathbf{Oa} \neq \mathbf{Oa}^+$ ) è espressa dalle parentesi di commutazione (a valore non zero) degli operatori non hermitiani ( $\hat{a}, \hat{a}^+$ ).

Questa nuova fisica esiste ed è la fisica quantistica!

Le due diverse possibilità di rotazione della fase associate ad un oscillatore trovano in Meccanica Quantistica una manifestazione osservabile, che si esprime in una particolare "realtà fenomenologica: **l'oscillatore quantistico!**

Infatti nell'oscillatore quantistico si può dimostrare che la differenza ( $\mathbf{Oa} \neq \mathbf{Oa}^+$ ) è espressa attraverso la parentesi di commutazione (a valore non nullo) degli operatori non hermitiani ( $\mathbf{a}, \mathbf{a}^+$ ) corrispondenti ad essi. Avremo così che :

$$\boxed{[\hat{a}, \hat{a}^+] = 1} \quad (7)$$

Le soluzioni [1] dell'eq. del moto nel piano delle fasi (q, p) espresse tramite i corrispondenti operatori hermitiani sono:

$$\left\{ \begin{array}{l} \hat{q}(t) = \hat{q}(0)\cos\omega t + \left(\frac{\hat{p}(0)}{m\omega}\right)\sin\omega t \\ \hat{p}(t) = \hat{p}(0)\cos\omega t - (m\omega)\hat{q}(0)\sin\omega t \end{array} \right\} \quad (8)$$

Adesso consideriamo un oscillatore forzato da un agente esterno.  
Nella meccanica classica abbiamo le seguenti soluzioni:

$$q(t) = q_{el}(0)\cos(\omega t) + q_{ass}(0)\sin(\omega t) \quad (9)$$

dove  $q_{el}$  è la componente elastica in fase con la forza esterna, mentre  $q_{ass}$  è in ritardo di fase di  $\pi/2$  con la forza esterna.

L'oscillatore quantistico forzato ammette invece soluzioni espresse tramite operatori:

$$\hat{q}(t) = \hat{q}_{el}(0)\cos(\omega t) + \hat{q}_{ass}(0)\sin(\omega t) \quad (10)$$

Noi ricordiamo che qualunque oscillatore ha due componenti: elastica e inerziale.

Ammettiamo pertanto la seguente equivalenza:  $q_{ass} \equiv q_{inertial}$

Segue che

$$\hat{q}(t) = \hat{q}_{el}(0)\cos(\omega t) + \hat{q}_{in}(0)\sin(\omega t) \quad (11)$$

Considerando tuttavia che un oggetto "microscopico", durante l'osservazione, sia un oggetto "perturbato", utilizzeremo una rappresentazione a due componenti dell'oscillatore quantistico come se esso fosse un oscillatore forzato.

## Par. 2 ) The Intrinsic Quantum Oscillator (IQuO)

Possiamo rappresentare graficamente l'oscillatore a due componenti:

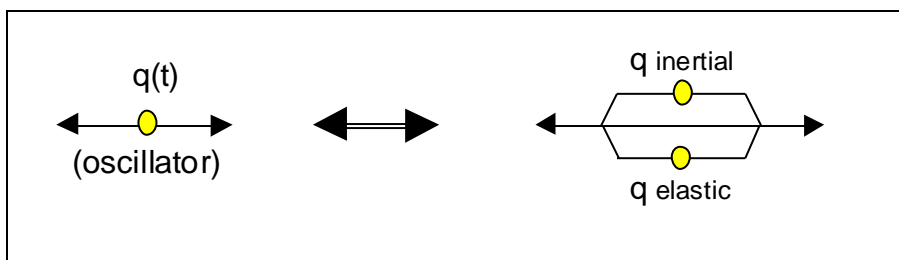


Fig.3

Guardando le equazioni (3) e (4) e ricordando le formule di Eulero dei numeri complessi si trova:

$$\left\{ \begin{array}{l} \hat{a}_t = \left(\sqrt{\frac{m\omega}{2\hbar}}\right) \left[ \hat{q}_0 e^{-i\omega t} + i \left(\frac{\hat{p}_0}{m\omega}\right) e^{-i\omega t} \right] = \hat{k}_q e^{-i\omega t} + i\hat{k}_p e^{-i\omega t} = \hat{k}_q e^{-i\omega t} + \hat{k}_p e^{-i(\omega t - \pi/2)} \\ \hat{a}_t^+ = \left(\sqrt{\frac{m\omega}{2\hbar}}\right) \left[ \hat{q}_0 e^{i\omega t} - i \left(\frac{\hat{p}_0}{m\omega}\right) e^{i\omega t} \right] = \hat{k}_q e^{i\omega t} - i\hat{k}_p e^{i\omega t} = \hat{k}_q e^{i\omega t} + \hat{k}_p e^{i(\omega t - \pi/2)} \end{array} \right\} \quad (12)$$

dove

$$\left( \hat{k}_q = \left( \sqrt{\frac{m\omega}{2\hbar}} \right) \hat{q}_0, \hat{k}_p = \left( \sqrt{\frac{1}{2m\hbar\omega}} \right) \hat{p}_0 \right) \quad (13)$$

usando l'eq. (11), avremo:

$$\begin{cases} \hat{a}_t = \hat{k}_{(elastic)} e^{-i\omega t} + \hat{k}_{(inertial)} e^{-i(\omega t - \pi/2)} \\ \hat{a}_t^+ = \hat{k}_{(elastic)} e^{i\omega t} + \hat{k}_{(inertial)} e^{i(\omega t - \pi/2)} \end{cases} \quad (14)$$

Pertanto potremmo affermare che gli operatori ( $\hat{a}$ ,  $\hat{a}^+$ ) sono espressi dalle componenti:

$$\begin{cases} \hat{a}_t = \hat{a}(t)_{elastic} + \hat{a}(t)_{inertial} \equiv O\bar{a} \\ \hat{a}_t^+ = \hat{a}^+(t)_{elastic} + \hat{a}^+(t)_{inertial} \equiv O\bar{a}^+ \end{cases} \quad (15)$$

Osserviamo bene che la componente elastica è in ritardo di fase di  $\pi/2$ , in confronto con quella inerziale. Abbiamo già rilevato che in Meccanica quantistica un qualunque oscillatore “osservato” viene “perturbato” ovvero diventa un oscillatore “forzato”.

Noi ricorriamo ad un oscillatore a due componenti per descrivere un oscillatore di campo associato ad una particella.

Diamo la seguente rappresentazione di un oscillatore quantistico a due componenti ( vedi l'eq. 14 se  $\omega t = (3/4)\pi$ )

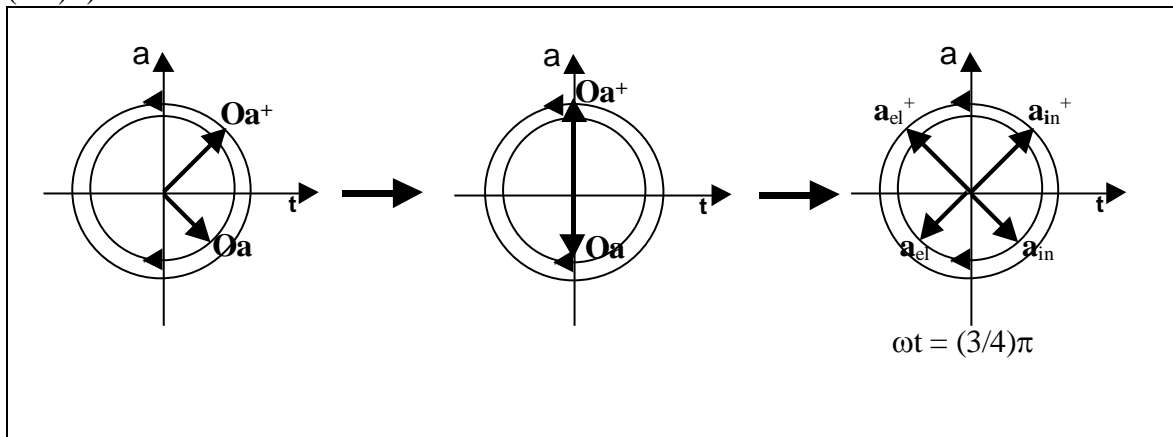


Fig. 4

Noi crediamo che un oscillatore quantistico sia a due componenti anche nello stato di vuoto.

Pertanto lo stato di vuoto (con energia  $\epsilon = 1/2 \hbar\omega$ ) sarà a due componenti ( una elastica e l'altra inerziale ) ciascuna con energia  $\epsilon = 1/4 \hbar\omega$ .

Definiamo “ **semi-quanto pieno**” il quanto d’oscillazione con  $\epsilon = 1/2 \hbar\omega$  □ □ mentre definiamo “ **semi quanto vuoto**” il quanto con  $\epsilon = 1/4 \hbar\omega$ .

Noi ricordiamo che l’operatore  $\hat{a}$  è un operatore di annichilazione mentre  $\hat{a}^+$  è di creazione.

L’operatore Hamiltoniano è:

$$\hat{H} = \left( \hat{a}^+ \hat{a} + \frac{1}{2} \right) \hbar\omega = \left( \hat{n} + \frac{1}{2} \right) \hbar\omega \quad (16)$$

dove  $\mathbf{n}$  è l’operatore numero di quanti.

Avendo autovettori simultaneamente definibili, gli operatori  $\mathbf{H}$  e  $\mathbf{n}$  commutano

Infatti, gli autovalori dell’op. hamiltoniano sono

$$\boxed{E_n = \left(n + \frac{1}{2}\right) \hbar \omega} \quad (17)$$

Dove  $n (1, 2, \dots)$  sono gli autovalori dell'op.  $\mathbf{n}$ .  
Ricordando l'eq. (6), abbiamo anche

$$\boxed{(\hat{a}_t = \hat{a}_0 \exp(-i\omega t) \quad , \quad \hat{a}_t^+ = \hat{a}_0^+ \exp(i\omega t) )} \quad (18)$$

da l'eq. 7 segue

$$\boxed{[\hat{a}_0, \hat{a}_0^+] = 1} \quad (19)$$

Al verso di rotazione della fase associamo un operatore  $\mathbf{r}$  ( con autovalori  $r' = \pm 1$  ), che deve commutare con l'op.  $\mathbf{H}$  e di conseguenza con l'op.  $\mathbf{n}$ ; tuttavia risulta evidente che questi operatori non commutano con un eventuale operatore dell'angolo di fase  $\phi$ . L'angolo di fase è indeterminato se  $n$  (autovalore di  $\mathbf{n}$  op.) è determinato. Segue che Se l'energia è determinata la fase deve essere indeterminata.

Facciamo tuttavia notare che l'energia dell'oscillatore è degenera negli autovalori di  $\mathbf{r}$ .

$$\boxed{\left[ E_n = \left(n + \frac{1}{2}\right) \hbar \omega \right]_{(r'=\pm 1)}} \quad (20)$$

Pertanto definiamo uno spazio vettoriale  $\mathbf{S}(\mathbf{H}, \mathbf{n})_{(r'=\pm 1)}$  con base di autovettori degli op.  $(\mathbf{H}, \mathbf{n})_{(r'=\pm 1)}$  ovvero  $[(|\Psi\rangle)_{(r'=\pm 1)} \equiv (|\Psi_{\mathbf{H}}\rangle |\Psi_{\mathbf{n}}\rangle)_{(r'=\pm 1)}]$ .

Dirac ([2] pp 156-157) ha cercato di proporre le seguenti relazioni per gli operatori  $(\mathbf{a}, \mathbf{a}^+)$ :

$$\boxed{\begin{cases} \hat{a} = (\exp(i\hat{\phi}))(\sqrt{\hat{n}}) \\ \hat{a}^+ = (\sqrt{\hat{n}})(\exp(-i\hat{\phi})) \end{cases}} \quad (21)$$

dove viene introdotto l'operatore angolo di fase  $\phi$ .

Come è ben dimostrato [2] queste relazioni conducono ad alcune contraddizioni.

Ma l'operatore  $\mathbf{r}$  ci spiega invece a definire la seguente relazione:

$$\boxed{\begin{cases} \hat{a} = (\Phi(\hat{r}, \phi))(\sqrt{\hat{n}}) \\ \hat{a}^+ = (\sqrt{\hat{n}})(\Phi^*(\hat{r}, \phi)) \end{cases}} \quad (22)$$

In cui la funzione operatore  $\Phi$  consiste in

$$\boxed{\Phi(\hat{r}, \phi) = \exp(i\hat{r}\phi) \quad , \quad \Phi^*(\hat{r}, \phi) = \exp(-i\hat{r}\phi)} \quad (23)$$

Adesso la fase  $\phi$  non è più un operatore.

Ritornando però all'oscillatore con due componenti, segue (vedi eq. 12)

$$\boxed{\begin{cases} \hat{a} = (\Phi(\hat{r}, \phi))(\sqrt{\hat{n}}) = \left[ e^{-i\hat{r}\phi} (\hat{k}_{el} + i\hat{k}_{in}) \right] \\ \hat{a}^+ = (\sqrt{\hat{n}})\Phi^*(\hat{r}, \phi) = \left[ (\hat{k}_{el} - i\hat{k}_{in}) e^{i\hat{r}\phi} \right] \end{cases}} \quad (24)$$

ma

$$\left\{ \begin{array}{l} \hat{a}^+ \hat{a} = \hat{n} = (\sqrt{\hat{n}})(\sqrt{\hat{n}}) \\ \hat{a}^+ \hat{a} = \hat{n} = \left[ (\hat{k}_{el} - i\hat{k}_{in}) (e^{i\hat{r}\omega t}) \right] \cdot \left[ (e^{-i\hat{r}\omega t}) (\hat{k}_{el} + i\hat{k}_{in}) \right] = (\hat{k}_{el} - i\hat{k}_{in})(\hat{k}_{el} + i\hat{k}_{in}) \end{array} \right. \quad (25)$$

dove osserviamo che l'ultima uguaglianza è in contraddizione con la prima!

E' necessario allora distinguere l'operatore  $(\sqrt{\hat{n}})$  contenuto negli  $(\hat{a}, \hat{a}^+)$  operatori.

Pertanto segue che

$$\left\{ \begin{array}{l} \hat{a} = \Phi(\hat{r}, \varphi) (\sqrt{\hat{n}_+}), \quad \hat{a}^+ = (\sqrt{\hat{n}_-}) (\Phi^*(\hat{r}, \varphi)) \end{array} \right\} \quad (26)$$

with  $\sqrt{\hat{n}_+} \neq \sqrt{\hat{n}_-}$

In questo modo otteniamo che

$$\left\{ \begin{array}{l} \hat{a} = (\Phi(\hat{r}, \varphi) (\sqrt{\hat{n}_+})) = \left[ (e^{-i\hat{r}\omega t}) \hat{k}_{el} + (ie^{-i\hat{r}\omega t}) \hat{k}_{in} \right] \\ \hat{a}^+ = (\sqrt{\hat{n}_-}) (\Phi^*(\hat{r}, \varphi)) = \left[ (\hat{k}_{el}) (e^{i\hat{r}\omega t}) - (i\hat{k}_{in}) e^{i\hat{r}\omega t} \right] \end{array} \right. \quad (27)$$

with  $\sqrt{\hat{n}_+} = (\hat{k}_{el} + i\hat{k}_{in})$  and  $\sqrt{\hat{n}_-} = (\hat{k}_{el} - i\hat{k}_{in})$  (28)

Ciò mostra la presenza di due componenti distinte in un oscillatore quantistico!

Così troviamo che

$$\left\{ \begin{array}{l} \hat{a}^+ \hat{a} = \left[ (\hat{k}_{el}) (e^{i\hat{r}\omega t}) - (i\hat{k}_{in}) (e^{i\hat{r}\omega t}) \right] \left[ (e^{-i\hat{r}\omega t}) \hat{k}_{el} + (ie^{-i\hat{r}\omega t}) \hat{k}_{in} \right] = \left[ (\hat{k}_{el}^2 + \hat{k}_{in}^2) - \left( \frac{1}{2} \right) \right] \\ \hat{a}^+ \hat{a} = \hat{n} \end{array} \right. \quad (29)$$

La nuova forma degli operatori di Dirac ( $\mathbf{a}, \mathbf{a}^+$ ) sarà:

$$\left\{ \begin{array}{l} \hat{a} = (\Phi(\hat{r}, \varphi) (\sqrt{\hat{n}_+})) = \left[ (\Phi(\hat{r}, \varphi)) (\hat{k}_{el}) + (\Phi(\hat{r}, \varphi)) (i\hat{k}_{in}) \right] = (\hat{a}_{el} + \hat{a}_{in}) \\ \hat{a}^+ = (\sqrt{\hat{n}_-}) (\Phi^*(\hat{r}, \varphi)) = \left[ (\hat{k}_{el}) (\Phi^*(\hat{r}, \varphi)) - (i\hat{k}_{in}) (\Phi^*(\hat{r}, \varphi)) \right] = (\hat{a}_{el}^+ + \hat{a}_{in}^+) \end{array} \right. \quad (30)$$

Osserviamo che questa nuova forma degli operatori ( $\mathbf{a}, \mathbf{a}^+$ ) contiene un'informazione in più rispetto alla "vecchia" forma. Ciò mostra che l'oscillatore a due componenti possiede uno spazio interno che in qualche fenomeno deve poter essere rilevato.

Riteniamo così che il passaggio dall'oscillatore a quello quantistico ( espresso con due componenti) contiene l'informazione della possibilità di rilevare (indirettamente) i due diversi versi della rotazione di fase (op.  $\mathbf{r}$ ).

In un autostato del numero di quanti e del verso di rotazione della fase (Spazio  $S(\mathbf{H}, \mathbf{n})_{\mathbf{r}}$ ) è possibile descrivere un oscillatore in termini di semiquanti pieni ( elastico e inerziale ) e vuoti!

Sempre nello spazio degli autostati ( $S(\mathbf{H}, \mathbf{n})_{\mathbf{r}}$ ) si dimostra [1] facilmente dalle proprietà degli operatori di quanto che

$$\left\{ \begin{array}{l} \hat{U}|n\rangle = \left( \frac{1}{2} m\omega^2 \hat{x}^2 \right) |n\rangle = \left( \frac{1}{4} \hbar\omega \right)_U \left[ \hat{a}^2 + (\hat{a}^+)^2 + \hat{a}^+ \hat{a} + \hat{a} \hat{a}^+ \right] |n\rangle \\ \hat{K}|n\rangle = \left( \frac{\hat{p}^2}{2m} \right) |n\rangle = \left( \frac{1}{4} \hbar\omega \right)_K \left[ -\hat{a}^2 - (\hat{a}^+)^2 + \hat{a}^+ \hat{a} + \hat{a} \hat{a}^+ \right] |n\rangle \end{array} \right. \quad (31)$$

Così calcoliamo il valore dell'energia potenziale e cinetica per l'autostato  $|0\rangle$

$$\begin{aligned} \hat{U}|0\rangle &= \left(\frac{1}{2} m\omega^2 \hat{x}^2\right)|0\rangle = \left(\frac{1}{4} \hbar\omega\right)_U [(\hat{a}^+)^2 + 1]|0\rangle \\ \hat{K}|0\rangle &= \left(\frac{\hat{p}^2}{2m}\right)|0\rangle = \left(\frac{1}{4} \hbar\omega\right)_K [-(\hat{a}^+)^2 + 1]|0\rangle \end{aligned} \quad (32)$$

Otteniamo la forma dell'operatore hamiltoniano

$$\hat{H}|0\rangle = \hat{U}|0\rangle + \hat{K}|0\rangle = \left(\frac{1}{4} \hbar\omega\right)_U |0\rangle + \left(\frac{1}{4} \hbar\omega\right)_K |0\rangle \quad (33)$$

Per gli autostati  $|n\rangle$  avremo

$$\hat{U}|n\rangle + \hat{K}|n\rangle = \left(\frac{1}{4} \hbar\omega\right)_U [\hat{a}^+ \hat{a} + \hat{a} \hat{a}^+] |n\rangle + \left(\frac{1}{4} \hbar\omega\right)_K [\hat{a}^+ \hat{a} + \hat{a} \hat{a}^+] |n\rangle \quad (34)$$

Dimostrando così che vale:

$$\hat{H}|n\rangle = \hat{U}|n\rangle + \hat{K}|n\rangle = (2n+1) \left(\frac{1}{4} \hbar\omega\right)_U |n\rangle + (2n+1) \left(\frac{1}{4} \hbar\omega\right)_K |n\rangle \quad (35)$$

con autovalori in  $S(\mathbf{H}, \mathbf{n})_r$

$$[\mathbf{H}_{(n)}]_r = [\mathbf{U}_{(n)} + \mathbf{K}_{(n)}]_r = \left[ (2n+1) \left(\frac{1}{4} \hbar\omega\right)_U + (2n+1) \left(\frac{1}{4} \hbar\omega\right)_K \right]_r \quad (36)$$

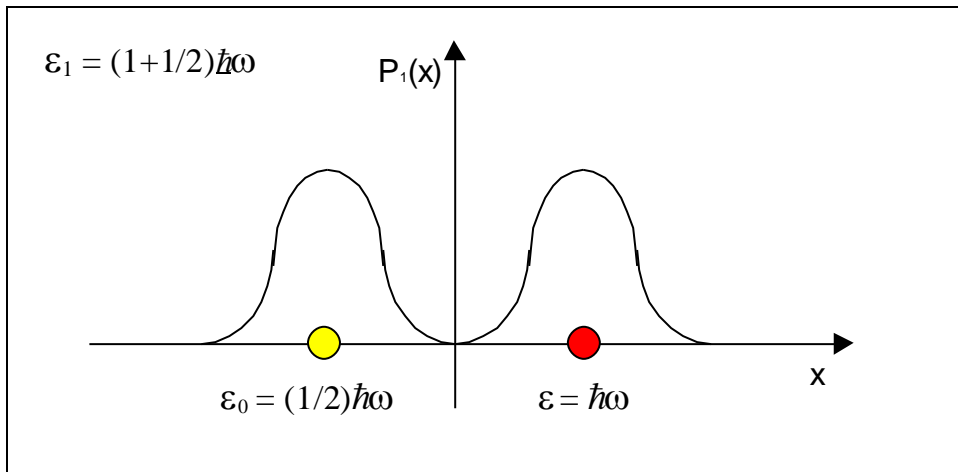
oppure

$$(\mathbf{H}_{(n)})_r = (\mathbf{U}_{(n)} + \mathbf{K}_{(n)})_r = \left[ n \left( \left(\frac{1}{2} \hbar\omega\right)_U + \left(\frac{1}{4} \hbar\omega\right)_U \right) \right]_r + \left[ n \left( \left(\frac{1}{2} \hbar\omega\right)_K + \left(\frac{1}{4} \hbar\omega\right)_K \right) \right]_r \quad (37)$$

Abbiamo qui l'ulteriore conferma della rappresentazione di un oscillatore quantistico mediante semiquanti pieni e vuoti.

Inoltre guardando in [3] le forme delle funzioni d'onda  $\Psi(x)$  e  $|\Psi(x)|^2$  associate all'oscillatore quantistico nell'autostato  $|1\rangle$ , si può ammettere (data la presenza del nodo centrale) che esso sia composto da due unità elementari d'oscillazioni, che noi definiamo “**sub-oscillatori**” (**sub-osc.**)





L'energia [ $\epsilon_1 = (1)\hbar\omega + (1/2)\hbar\omega$ ] è distribuita in due sub-osc., di cui uno (sub-quantum) è con energia [ $\epsilon = (1/2)\hbar\omega$ ] e l'altro ha energia [ $\epsilon = (1)\hbar\omega$ ].

In  $|0\rangle$  eigenstate we have:

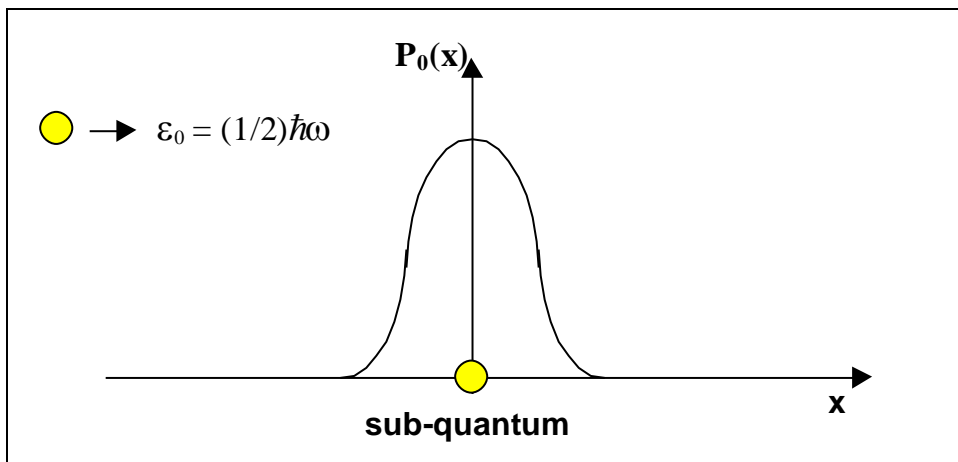


Fig. 6

Tuttavia guardando l'eq. (33) e l'eq. (37) abbiamo:

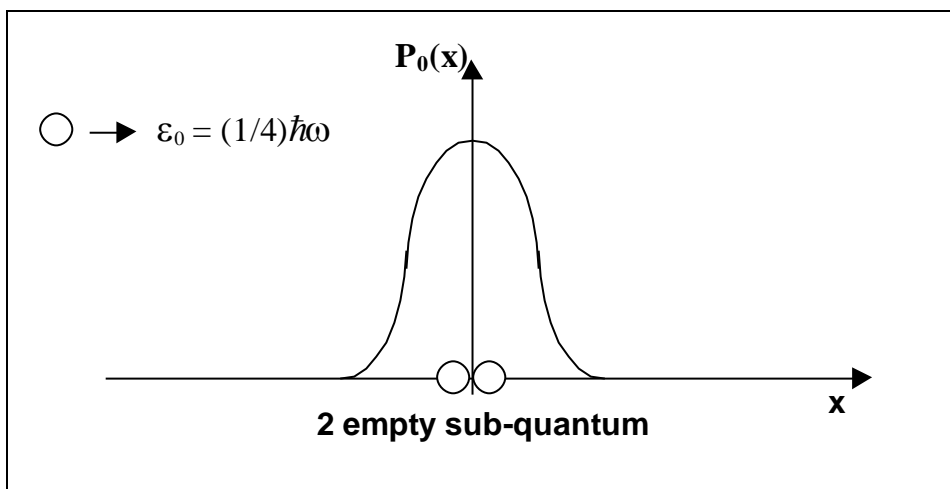


Fig. 7

come

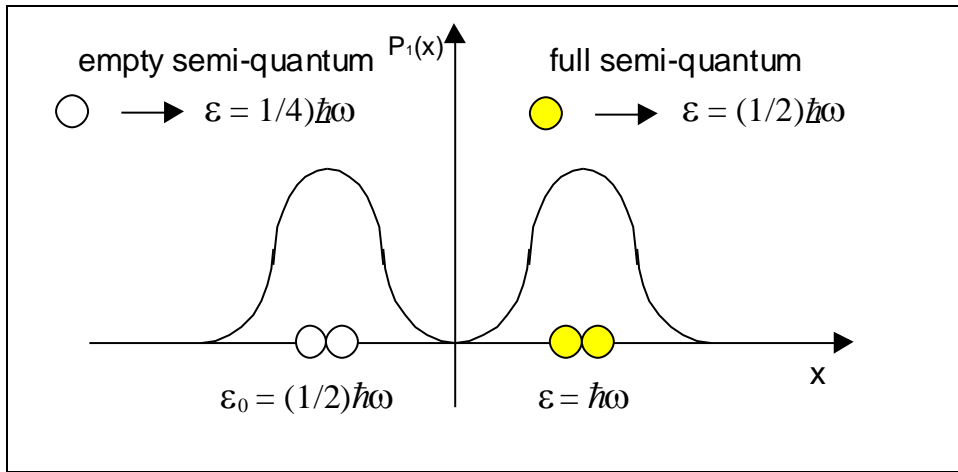


Fig. 8

Invece nello stato  $|n\rangle$  il numero di sub-osc. accoppiati ( dai nodi presenti in  $|\Psi(x)|^2$  ) è dato da  $(n+1)$ , dove  $n$  è il numero di quanti.

Riassumendo, asseriamo che un oscillatore in uno stato eccitato ( $n$ -livello) è composto da  $(n+1)$  sub-osc., con due semi-quantum vuoti (  $\circ$  ) ad energia  $\epsilon = 1/4 \hbar\omega$  e  $n$  semi-quantum pieni (  $\bullet$  ) ad energia  $\epsilon = 1/2 \hbar\omega$  ciascuno (2 semi-quantum pieni sono uguali ad un quanto  $\epsilon = \hbar\omega$  ).

Anche se l'energia potenziale e cinetica nella rappresentazione degli stati d'occupazione assumono sempre un valore indipendente dal tempo, i semiquanti si muovono dentro il sub-osc. avanti e indietro!

Adesso possiamo costruire le seguenti corrispondenze:

$$\left\{ \begin{array}{l} U \equiv (\bullet + \circ) \\ K \equiv (\bullet + \circ) \end{array} \right\} \Leftrightarrow \left\{ \begin{array}{l} \bar{O}a = \bar{O}a_{el} + \bar{O}a_{in} \\ \bar{O}a^+ = \bar{O}a_{el}^+ + \bar{O}a_{in}^+ \end{array} \right\} \Leftrightarrow \left\{ \begin{array}{ll} a_{el} \equiv U_{el}(\bullet) & a_{in} \equiv K_{in}(\circ) \\ a_{el}^+ \equiv U_{el}(\circ) & a_{in}^+ \equiv K_{in}(\bullet) \end{array} \right\} \quad (38)$$

Avremo anche la seguente equivalenza tra matrici ( invarianza per scambio (  $\circ$  )  $\leftrightarrow$  (  $\bullet$  ) )

$$\left\{ \begin{array}{ll} a_{el} \equiv U_{el}(\bullet) & a_{in} \equiv K_{in}(\circ) \\ a_{el}^+ \equiv U_{el}(\circ) & a_{in}^+ \equiv K_{in}(\bullet) \end{array} \right\} \Leftrightarrow \left\{ \begin{array}{ll} a_{el} \equiv U_{el}(\circ) & a_{in} \equiv K_{in}(\bullet) \\ a_{el}^+ \equiv U_{el}(\bullet) & a_{in}^+ \equiv K_{in}(\circ) \end{array} \right\} \quad (39)$$

Guardando la fig. 4, avremo la seguente rappresentazione (vettoriale)

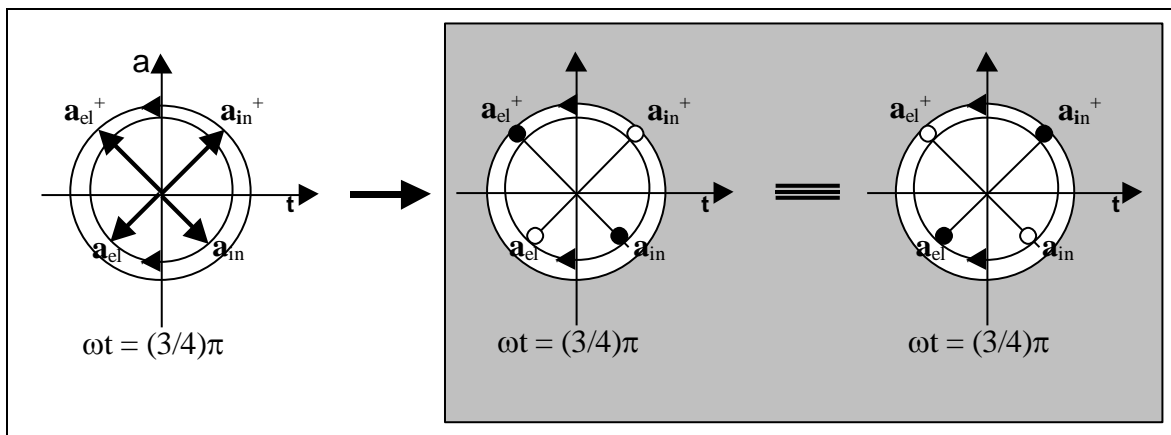


Fig. 9

Per gli operatori (  $\mathbf{a}$ ,  $\mathbf{a}^+$  ) possiamo stabilire i seguenti simboli:

$$\left\{ \begin{array}{l} \hat{a}_{el} \equiv (\hat{\bullet})_{el} \quad \hat{a}_{in} \equiv (\hat{\circ})_{in} \\ \hat{a}_{el}^+ \equiv (\hat{\circ}^+)_{el} \quad \hat{a}_{in}^+ \equiv (\hat{\bullet}^+)_{in} \end{array} \right\} \Leftrightarrow \left\{ \begin{array}{l} \hat{a}_{el} \equiv (\hat{\circ})_{el} \quad \hat{a}_{in} \equiv (\hat{\bullet})_{in} \\ \hat{a}_{el}^+ \equiv (\hat{\bullet}^+)_{el} \quad \hat{a}_{in}^+ \equiv (\hat{\circ}^+)_{in} \end{array} \right\} \quad (40)$$

B<sub>1</sub> - Matrix B<sub>2</sub> - Matrix

Dove (( $\bullet^+$ )<sub>el</sub>, ( $\bullet^+$ )<sub>in</sub>) sono gli operatori di creazione di semi-quantum vuoti (con  $\epsilon = 1/4 \hbar \omega$ ), mentre (( $\bullet^+$ )<sub>el</sub>, ( $\bullet^+$ )<sub>in</sub>) sono gli operatori di creazione di semi-quantum pieni (con  $\epsilon = 1/2 \hbar \omega$ ).

□ □ Invece (( $\circ$ )<sub>el</sub>, ( $\circ$ )<sub>in</sub>) sono gli operatori di annichilazione di semi-quantum vuoti, mentre □ (( $\circ$ )<sub>el</sub>, ( $\circ$ )<sub>in</sub>) sono gli operatori di annichilazione di semi-quantum pieni.

In un autostato degli operatori  $\mathbf{r}$  ed  $\mathbf{n}$  avremo (si vedano l'eq. 27 e 30) che

$$\left\{ \begin{array}{l} \overrightarrow{\hat{O}}_{n,r}^+(t) \equiv \hat{a}_{n,r}^+(t) = (\hat{\bullet}^+)_{el}^{(n)} [\exp(ir'\omega t)] + (\hat{\circ}^+)_{in}^{(n)} [\exp(i(r'\omega t - \pi/2))] \\ \overrightarrow{\hat{O}}_{n,r}(t) \equiv \hat{a}_{n,r}(t) = (\hat{\circ})_{el}^{(n)} [\exp(-ir'\omega t)] + (\hat{\bullet})_{in}^{(n)} [\exp(-i(r'\omega t - \pi/2))] \end{array} \right\} \quad (41)$$

O equivalentemente

$$\left\{ \begin{array}{l} \overrightarrow{\hat{O}}_{n,r}^+(t) \equiv \hat{a}_{n,r}^+(t) = (\hat{\circ}^+)_{el}^{(n)} [\exp(ir'\omega t)] + (\hat{\bullet}^+)_{in}^{(n)} [\exp(i(r'\omega t - \pi/2))] \\ \overrightarrow{\hat{O}}_{n,r}(t) \equiv \hat{a}_{n,r}(t) = (\hat{\bullet})_{el}^{(n)} [\exp(-ir'\omega t)] + (\hat{\circ})_{in}^{(n)} [\exp(-i(r'\omega t - \pi/2))] \end{array} \right\} \quad (42)$$

Chiameremo "IQuO" l'oscillatore definito dalla eq. (41).

IQuO è l'acronimo di "Intrinsic Quantum Oscillator".

Per un IQuO sarà:

$$\left\{ \begin{array}{l} \vec{\Psi}_{IQuO}(t)_{n,r'} = \vec{\hat{O}}_{n,r'}(t) + \vec{\hat{O}}_{n,r'}^+(t) \quad \text{autostato } |n, r'\rangle \\ \vec{\Psi}_{IQuO}(t) = \vec{\hat{O}}(t) + \vec{\hat{O}}^+(t) \quad \text{stato non locale} \end{array} \right\} \quad (43)$$

Un IQuO al primo livello

$$\left\{ \begin{array}{l} \hat{a}_{1,r'}^+(t) = (\hat{\bullet}^+)_{el} [\exp(ir'\omega t)] + (\hat{\circ}^+)_{in} [\exp(i(r'\omega t - \pi/2))] \\ \hat{a}_{1,r'}(t) = (\hat{\circ})_{el} [\exp(-ir'\omega t)] + (\hat{\bullet})_{in} [\exp(-i(r'\omega t - \pi/2))] \end{array} \right\} \quad (44)$$

Avremo

$$(\epsilon_1)_{r'} = \left\{ \begin{array}{l} U \equiv (\bullet + \circ) \\ K \equiv (\bullet + \circ) \end{array} \right\}_{r'} \Leftrightarrow \left\{ \begin{array}{l} \hat{a}_{el} \equiv U_{el}(\hat{\circ}) \quad \hat{a}_{in} \equiv K_{in}(\hat{\bullet}) \\ \hat{a}_{el}^+ \equiv U_{el}(\hat{\bullet}^+) \quad \hat{a}_{in}^+ \equiv K_{in}(\hat{\circ}^+) \end{array} \right\}_{r'} \quad (45)$$

con

$$\left( \hat{r} \right)' = +1 \Rightarrow \left[ \begin{array}{l} \hat{a}_{el} = \hat{\circ}_{el} \text{ (clockwise direction)} \\ \hat{a}_{in} = \hat{\bullet}_{in} \text{ (clockwise direction)} \end{array} \right] \quad (46)$$

$$\left( \hat{r} \right)' = +1 \Rightarrow \left[ \begin{array}{l} \hat{a}_{el}^+ = \hat{\bullet}_{el}^+ \text{ (anti-clockwise direction)} \\ \hat{a}_{in}^+ = \hat{\circ}_{in}^+ \text{ (anti-clockwise direction)} \end{array} \right]$$

o

$$\begin{aligned}
 (\hat{r})' = -1 &\Rightarrow \left[ \begin{array}{l} \hat{a}_{el} = \hat{o}_{el} \text{ (anti-clockwise direction)} \\ \hat{a}_{in} = \hat{o}_{in} \text{ (anti-clockwise direction)} \end{array} \right] \\
 (\hat{r})' = -1 &\Rightarrow \left[ \begin{array}{l} \hat{a}^+_{el} = \hat{o}^+_{el} \text{ (clockwise direction)} \\ \hat{a}^+_{in} = \hat{o}^+_{in} \text{ (clockwise direction)} \end{array} \right]
 \end{aligned}
 \tag{47}$$

Possiamo utilizzare anche la seguente rappresentazione:

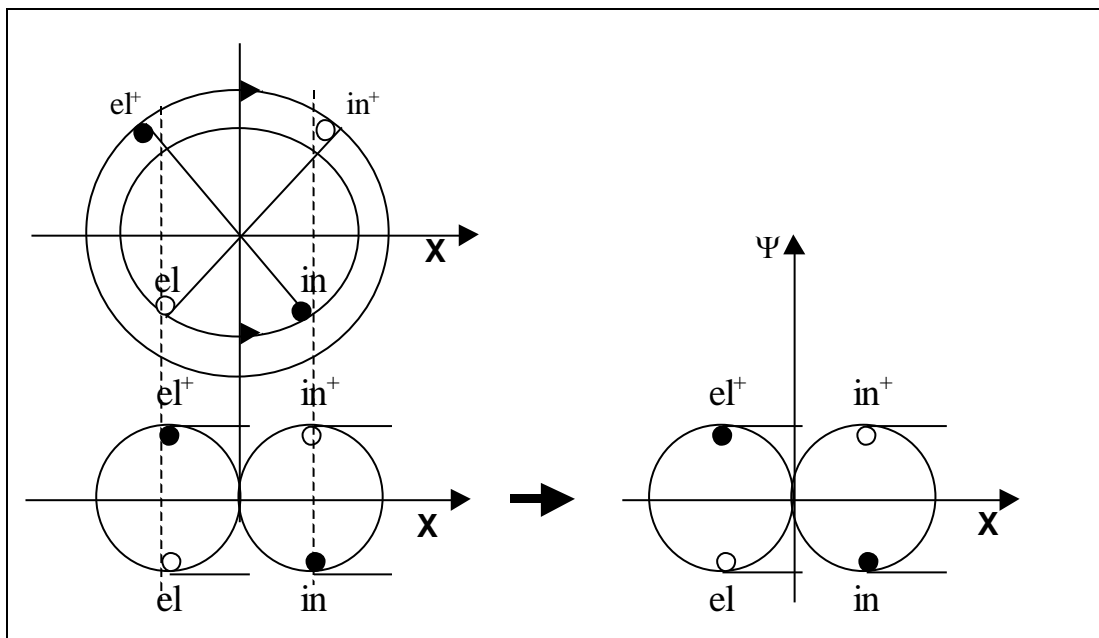


Fig. 10

Questa rappresentazione sarà utile nel rappresentare una particella in movimento lungo l'asse X, intendendo questa come un quanto in movimento lungo una linea di oscillatori accoppiati di campo. Da notare in questa rappresentazione una sorta di **“intrinseca dimensione”** interna all'oscillatore, dove i due sub-oscillatori possono essere assimilati a due **“anelli”** dotati di caratteristiche elastiche ed inerziali!

Guardando la fig. 3, fig. 5, fig. 6, Fig. 7, Fig. 8 e Fig. 10 diamo la seguente rappresentazione (rappresentazione a semi-quanti):

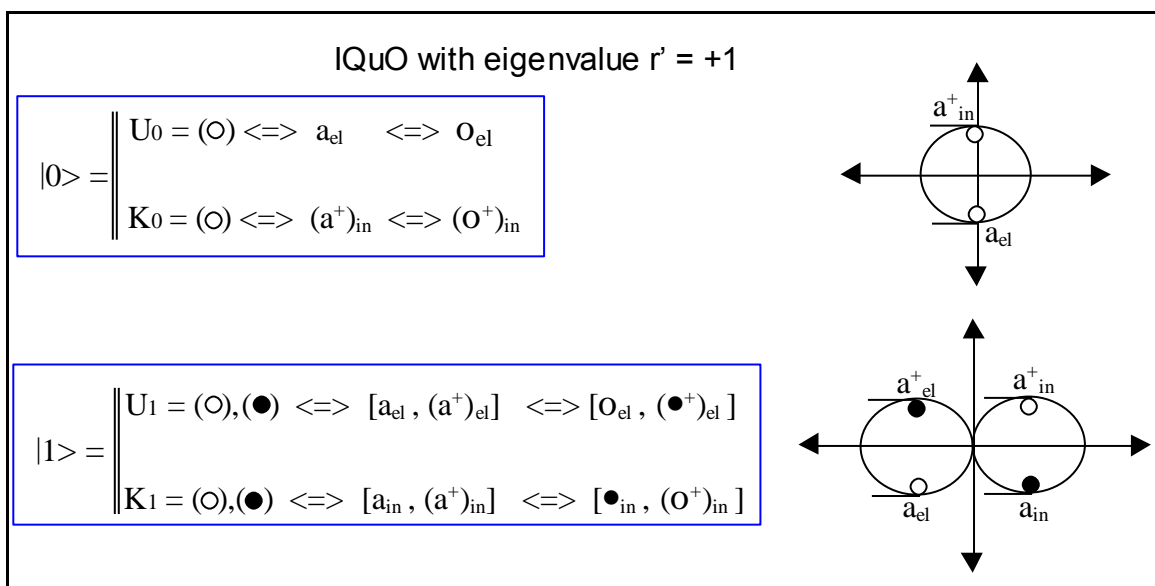


Fig. 11

Rileviamo ancora una volta che l'oscillatore con due componenti (oscillatore forzato) evidenzia la presenza di un grado di libertà interno.

Si dirà che l'oscillazione è 1-dim., lungo l'asse x, ma avente un grado di libertà interno che potrebbe evidenziare il verso di rotazione della fase.

I due ( $r'$ ) autovalori originano due IQuO differenti nel verso di rotazione della fase:  $r' = (+1, -1)$ .

E' anche evidente che un IQuO non potrebbe cambiare spontaneamente l'autovalore, di  $r'$  passando da  $r' = 1$  a  $r' = -1$ .

Mostriamo (per esempio) le prime tre possibili configurazioni dell' IQuO durante la variazione di fase, nel caso ( $r'=1$ ):

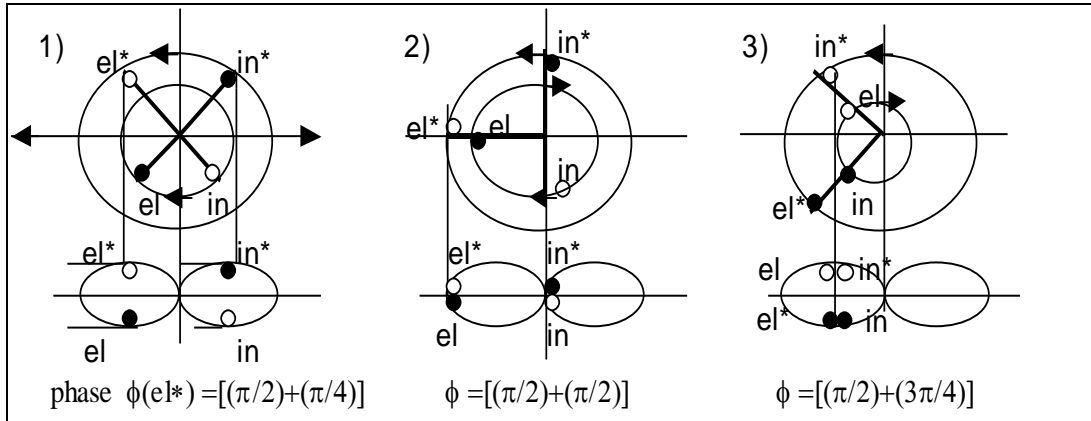


Fig. 12

Proiettando sull'asse x avremo ( in analogia con quello classico ) il movimento del quanto rappresentativo dell'oscillatore.

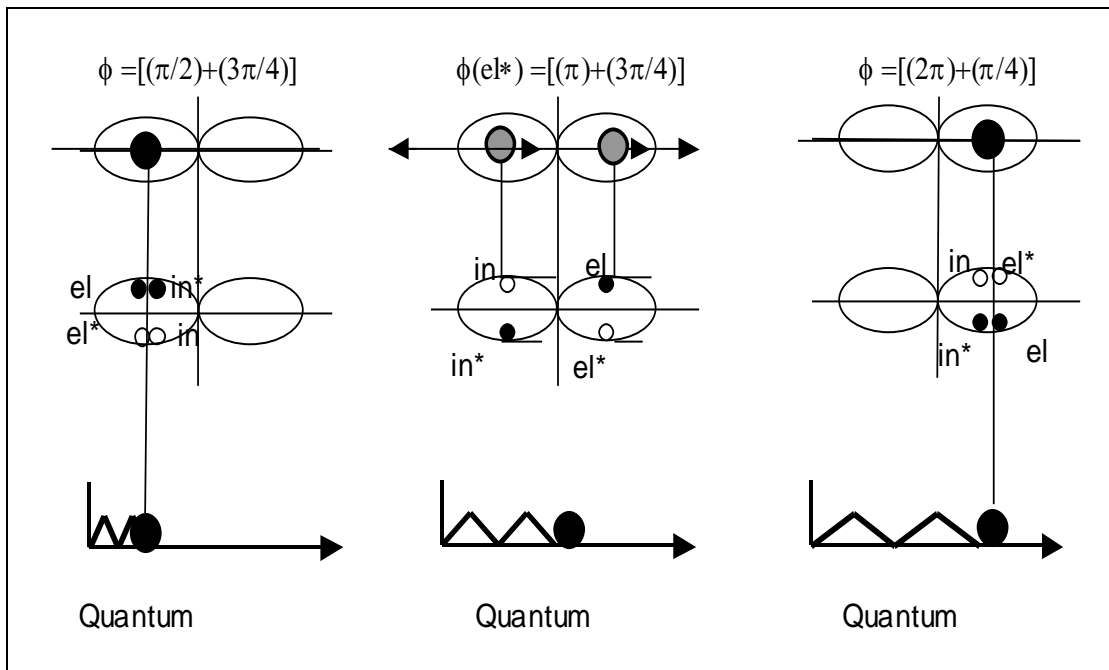


Fig. 13

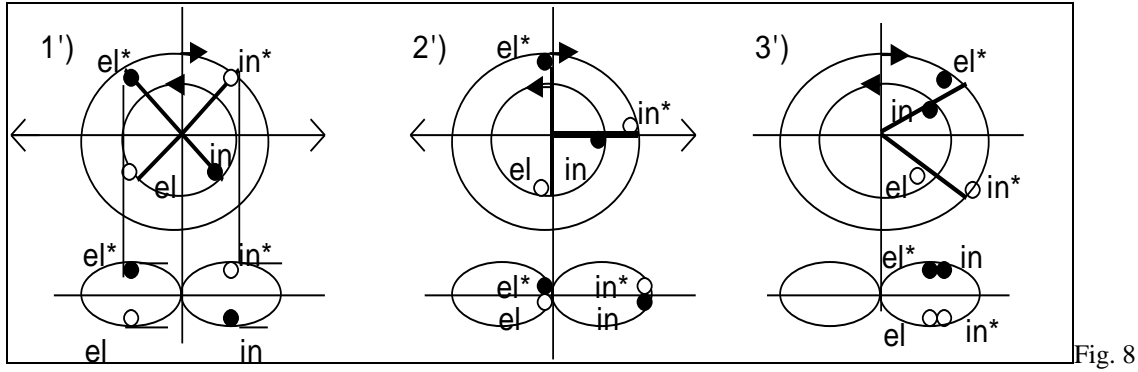
Dove la posizione del quanto segue la legge probabilistica di  $|\Psi_1(x)|^2$ .

Sottolineiamo che nell'autostato  $|r\rangle$  (stato locale) la fase è indeterminata (stato non locale delle configurazioni possibili). Lo stato non locale della fase comporta che l'istante di transizione del semi-quanto da un sub-osc. all'altro è indeterminato, anche se le configurazioni, durante l'oscillazione, si susseguono ordinatamente.

Mostriamo la forma dell'IQuO con autovalore  $(r') = -1$

$$\left\{ \begin{array}{l} \hat{a} = e^{-i\tilde{r}\omega t} \hat{k}_{el} + ie^{-i\tilde{r}\omega t} \hat{k}_{in} \Big|_{r'=-1} = (\hat{k}_{el} + i\hat{k}_{in})e^{i\omega t} = (\hat{k}_{el} + i\hat{k}_{in}e^{i\pi/2})e^{i\omega t} \\ \hat{a}^+ = \hat{k}_{el}e^{i\tilde{r}\omega t} - i\hat{k}_{in}e^{i\tilde{r}\omega t} \Big|_{r'=-1} = (\hat{k}_{el} - i\hat{k}_{in})e^{-i\omega t} = (\hat{k}_{el} + \hat{k}_{in}e^{-i\pi/2})e^{-i\omega t} \end{array} \right. \quad (48)$$

Avremo allora per  $(r' = -1)$



Definiamo  $\Phi(B)$ -matrice quella associata ad ogni configurazione ( appartenente a  $r' = \pm 1$  )

$$[\Phi(B)]_{(r'=+1)} \equiv \left\{ \left( \begin{array}{cc} (a_{el})_{(cl)} & (a_{in})_{(cl)} \\ (a_{el}^+)_{(c\bar{l})} & (a_{in}^+)_{(c\bar{l})} \end{array} \right) \Leftrightarrow \left[ \left( \begin{array}{cc} (o_{el})_{(cl)} & (\bullet_{in})_{(cl)} \\ (\bullet_{el}^+)_{(c\bar{l})} & (o_{in}^+)_{(c\bar{l})} \end{array} \right) \equiv \left( \begin{array}{cc} (\bullet_{el})_{(cl)} & (o_{in})_{(cl)} \\ (o_{el}^+)_{(c\bar{l})} & (\bullet_{in}^+)_{(c\bar{l})} \end{array} \right) \right] \right\} \quad (49)$$

$$[\Phi(B)]_{(r'=-1)} \equiv \left\{ \left( \begin{array}{cc} (a_{el})_{(c\bar{l})} & (a_{in})_{(c\bar{l})} \\ (a_{el}^+)_{(cl)} & (a_{in}^+)_{(cl)} \end{array} \right) \Leftrightarrow \left[ \left( \begin{array}{cc} (o_{el})_{(c\bar{l})} & (\bullet_{in})_{(c\bar{l})} \\ (\bullet_{el}^+)_{(cl)} & (o_{in}^+)_{(cl)} \end{array} \right) \equiv \left( \begin{array}{cc} (\bullet_{el})_{(c\bar{l})} & (o_{in})_{(c\bar{l})} \\ (o_{el}^+)_{(cl)} & (\bullet_{in}^+)_{(cl)} \end{array} \right) \right] \right\} \quad (50)$$

dove l'indice  $(cl)$  indica una rotazione della fase oraria e  $(c\bar{l})$  una rotazione antioraria.

Usando le proprietà degli operatori quantistici  $(\mathbf{a}, \mathbf{a}^+)$  (come le parentesi di commutazione) e le proprietà del H operatore del [hamiltonian], otteniamo le parentesi di commutazione degli  $(\bullet, o)$  operatori semi-quantistici, come:

$$\begin{array}{l} \text{I}^\circ \text{ case : } [(\bullet_{el}^+)_{cl}, (o_{el})_{c\bar{l}}] = 0 \quad ; \quad [(\bullet_{in}^+)_{cl}, (o_{in})_{c\bar{l}}] = 0 \\ \text{I}^\circ \text{ case : } [(o_{el}^+)_{cl}, (\bullet_{el})_{c\bar{l}}] = 0 \quad ; \quad [(o_{in}^+)_{cl}, (\bullet_{in})_{c\bar{l}}] = 0 \end{array} \quad (51)$$

Le altre relazioni degli operatori di semi-quanto e delle loro proprietà di simmetria possono essere sintetizzate nella seguente parentesi di commutazione:

$$\begin{array}{l} \text{I}^\circ \text{ case : } [\bullet_{el}^+, o_{in}] = \frac{i}{2} \quad ; \quad [o_{el}^+, \bullet_{in}] = \frac{i}{2} \\ \text{II}^\circ \text{ case : } [\bullet_{in}^+, o_{el}] = \frac{i}{2} \quad ; \quad [o_{in}^+, \bullet_{el}] = \frac{i}{2} \end{array} \quad (52)$$

Gli altri casi (vedi appendice) derivano dalla proprietà che un eventuale scambio globale ( $\bullet \leftrightarrow \mathbf{0}$ ) non cambia il risultato delle parentesi di commutazione degli operatori ( $\mathbf{a}, \mathbf{a}^*$ ).

Troviamo allora che vale :

$$\begin{array}{l} \text{I}^\circ) \text{ case : } \left[ \bullet_{el}^+, \bullet_{in} \right] = \frac{i}{2} \quad ; \quad \left[ \mathbf{0}_{el}, \mathbf{0}_{in}^+ \right] = \frac{i}{2} \\ \text{II}^\circ) \text{ case : } \left[ \bullet_{in}^+, \bullet_{el} \right] = \frac{i}{2} \quad ; \quad \left[ \mathbf{0}_{in}, \mathbf{0}_{el}^+ \right] = \frac{i}{2} \end{array} \quad (53)$$

## Considerazioni finali

Crediamo fortemente che la struttura a semiquanti di un oscillatore rappresenti qualcosa di fondamentale che sta alla base della teoria quantistica dei campi e che permette di spiegare in maniera esauriente la formazione delle particelle elementari e del loro comportamento.

Potremmo essere così in presenza di un più profondo modello di struttura dei campi quantistici, capace di spiegare meglio la complessa natura delle particelle e delle loro interazioni.

Mi preme informare che ulteriori miei studi hanno confermato questa nuova ipotesi sulla teoria dei campi quantistici.

A sostegno dell'efficienza descrittiva di questo modello riporto le idee più rilevanti che sono emerse in questi studi, conseguenze dirette del modello ad IQuO qui presentato:

Per concludere esponiamo le conseguenze possibili del modello a IQuO qui presentato:

- 1) C'è la possibilità di connettere il segno del carica elettrica al verso di rotazione della fase e alla configurazione dei semi-quantum "elastico" e "inerziale" ma non alla fase istantanea. Ciò permette di approfondire la correlazione tra i campi carichi e l'invarianza di gauge presente nelle loro interazioni
- 2) I semi-quantum andando da un sub-osc. all'altro ci conduce alla possibilità che un quanto potrebbe propagarsi lungo una catena di accoppiati oscillatori, come è visto un campo quantistico;
- 3) C'è la possibilità di interpretare le interazioni tra due particelle come conseguenza di un "elastico" accoppiamento tra i due IQuO dei corrispondenti campi;
- 4) Grazie alla possibilità di avere una struttura a semi-quantum potrebbe essere possibile, attraverso accoppiamenti particolari di IQuO, ottenere IQuO con carica elettrico non intera (Quark)

In conclusione noi crediamo che la struttura a semi-quantum dell'oscillatore quantistico ( l'IQuO) potrebbe fornire fondamentali informazioni sulle procedure di costruzione delle particelle elementari, gettando ulteriore luce sul modello standard.

Infatti c'è da rilevare che il presente studio teorico ci permette di possedere una nuova chiave di lettura di alcune problematiche ancora irrisolte dalla fisica moderna:

- l'interazione di fase tra due IQuO, appartenenti ad una catena di oscillatori accoppiati, qui presentata, insieme alla transizione ad autostato della rotazione di fase, potrebbe contribuire a schiarire qualcosa di quello oscuro processo fisico quale è la riduzione della funzione d'onda
- poiché particelle senza massa ma con carica elettrica non esistono, il processo di accoppiamento di due IQuO che conduce alla formazione di altri due IQuO, sospettati di portare un segno di carica elettrica, potrebbe contribuire a spiegare meglio la creazione delle particelle massive
- Grazie alla possibilità di una struttura sub-quantica potrebbe essere possibile, tramite accoppiamenti particolari, ottenere IQuO carichi con carica elettrica frazionaria ( IQuO-Quark)!
- La struttura a semiquanti di un oscillatore di campo potrebbe fornire informazioni sulle procedure di formazione di tutte le particelle elementari [ Leptoni-Quark] e [Bosoni d'interazione], gettando luce sul modello standard e oltre.

## Appendice

### Relazioni di commutazione degli operatori di semi-quanto

Consideriamo le seguenti relazioni

$$\begin{aligned} [\hat{a}, \hat{a}^+] &= 1 \quad ; \quad \hat{H} = \hbar\omega(\hat{a}^+\hat{a} + 1/2) = \frac{1}{2}\hbar\omega(\hat{a}^+\hat{a} + \hat{a}\hat{a}^+) \quad ; \quad \hat{a}^+\hat{a} = \hat{n} = \frac{\hat{H}}{\hbar\omega} - \frac{1}{2} \\ (\hat{a}^+\hat{a} + \hat{a}\hat{a}^+) &= (\hat{k}_{el}^2 + \hat{k}_{in}^2) \quad ; \quad \hat{H} = \frac{1}{2}\hbar\omega(\hat{k}_{el}^2 + \hat{k}_{in}^2) \end{aligned} \quad (A.1)$$

Esaminiamo gli (a, a<sup>+</sup>) operatori espressi dall' eq. (41)

$$\begin{aligned} \hat{a}_1^+(t) &= (\hat{\bullet}^+)_{el} \exp(ir'\omega t) + (\hat{\circ}^+)_{cin} \exp(i(r'\omega t - \pi/2)) = [(\hat{\bullet}_{el}^+ - i\hat{\circ}_{in}^+)] \exp(i(\omega t)) \\ \hat{a}_1(t) &= (\hat{\circ})_{el} \exp(-ir'\omega t) + (\hat{\bullet})_{cin} \exp(-i(r'\omega t - \pi/2)) = [(\hat{\circ}_{el} + i\hat{\bullet}_{in})] \exp(-i(\omega t)) \end{aligned} \quad (A.2)$$

dove  $r' = +1$ .

Calcoliamo le relazioni di Commutazione.

Partiamo dalle seguenti equazioni

$$\begin{aligned} \hat{a}^+\hat{a} &= [(\hat{\bullet}_{el}^+ - i\hat{\circ}_{in}^+)] [(\hat{\circ}_{el} + i\hat{\bullet}_{in})] = (\hat{\bullet}_{el}^+ \hat{\circ}_{el} + \hat{\circ}_{in}^+ \hat{\bullet}_{in}) + i(\hat{\bullet}_{el}^+ \hat{\bullet}_{in} - \hat{\circ}_{in}^+ \hat{\circ}_{el}) \\ \hat{a}\hat{a}^+ &= [(\hat{\circ}_{el} + i\hat{\bullet}_{in})] [(\hat{\bullet}_{el}^+ - i\hat{\circ}_{in}^+)] = (\hat{\circ}_{el} \hat{\bullet}_{el}^+ + \hat{\bullet}_{in} \hat{\circ}_{in}^+) + i(\hat{\bullet}_{in} \hat{\bullet}_{el}^+ - \hat{\circ}_{el} \hat{\circ}_{in}^+) \end{aligned} \quad (A.3)$$

Ricordando l'eq. 27, abbiamo:

$$\begin{aligned} \hat{a}^+\hat{a} &= (\hat{k}_{el} e^{ir'\omega t} - i\hat{k}_{in} e^{ir'\omega t})(e^{-ir'\omega t} \hat{k}_{el} + ie^{-ir'\omega t} \hat{k}_{in}) = (\hat{k}_{el}^2 + \hat{k}_{in}^2) + i(\hat{k}_{el} \hat{k}_{in} - \hat{k}_{in} \hat{k}_{el}) \\ \hat{a}\hat{a}^+ &= (e^{-ir'\omega t} \hat{k}_{el} + ie^{-ir'\omega t} \hat{k}_{in})(\hat{k}_{el} e^{ir'\omega t} - i\hat{k}_{in} e^{ir'\omega t}) = (\hat{k}_{el}^2 + \hat{k}_{in}^2) + i(\hat{k}_{in} \hat{k}_{el} - \hat{k}_{el} \hat{k}_{in}) \end{aligned} \quad (A.4)$$

Confrontando l'eq. (A3) con la (A4) otteniamo

$$\hat{a}^+\hat{a} = (\hat{\bullet}_{el}^+ \hat{\circ}_{el} + \hat{\circ}_{in}^+ \hat{\bullet}_{in}) + i(\hat{\bullet}_{el}^+ \hat{\bullet}_{in} - \hat{\circ}_{in}^+ \hat{\circ}_{el}) = (\hat{k}_{el}^2 + \hat{k}_{in}^2) + i(\hat{k}_{el} \hat{k}_{in} - \hat{k}_{in} \hat{k}_{el}) \quad (A.5)$$

Eguagliando i termini dello stesso tipo nelle due parti dell'eq., segue

$$\hat{k}_{el}^2 = \hat{\bullet}_{el}^+ \hat{\circ}_{el} \quad ; \quad \hat{k}_{in}^2 = \hat{\circ}_{in}^+ \hat{\bullet}_{in} \quad ; \quad (\hat{k}_{el} \hat{k}_{in} - \hat{k}_{in} \hat{k}_{el}) = (\hat{\bullet}_{el}^+ \hat{\bullet}_{in} - \hat{\circ}_{in}^+ \hat{\circ}_{el}) \quad (A.6)$$

Nello stesso modo calcoliamo

$$\begin{aligned} \hat{a}\hat{a}^+ &= (\hat{k}_{el}^2 + \hat{k}_{in}^2) + i(\hat{k}_{in} \hat{k}_{el} - \hat{k}_{el} \hat{k}_{in}) \\ \hat{a}\hat{a}^+ &= (\hat{\circ}_{el} \hat{\bullet}_{el}^+ + \hat{\bullet}_{in} \hat{\circ}_{in}^+) + i(\hat{\bullet}_{in} \hat{\bullet}_{el}^+ - \hat{\circ}_{el} \hat{\circ}_{in}^+) \end{aligned} \quad (A.7)$$

Uguagliando, segue

$$\hat{k}_{el}^2 = \hat{\circ}_{el} \hat{\bullet}_{el}^+ \quad ; \quad \hat{k}_{in}^2 = \hat{\bullet}_{in} \hat{\circ}_{in}^+ \quad ; \quad (\hat{k}_{in} \hat{k}_{el} - \hat{k}_{el} \hat{k}_{in}) = (\hat{\bullet}_{in} \hat{\bullet}_{el}^+ - \hat{\circ}_{el} \hat{\circ}_{in}^+) \quad (A.8)$$

Da  $[\mathbf{a}, \mathbf{a}^+] = 1$  troviamo

$$[(\hat{a}\hat{a}^+) - (\hat{a}^+\hat{a})] = [(\hat{\circ}_{el} \hat{\bullet}_{el}^+ + \hat{\bullet}_{in} \hat{\circ}_{in}^+) + i(\hat{\bullet}_{in} \hat{\bullet}_{el}^+ - \hat{\circ}_{el} \hat{\circ}_{in}^+)] - [(\hat{\bullet}_{el}^+ \hat{\circ}_{el} + \hat{\circ}_{in}^+ \hat{\bullet}_{in}) + i(\hat{\bullet}_{el}^+ \hat{\bullet}_{in} - \hat{\circ}_{in}^+ \hat{\circ}_{el})] = 1 \quad (A.9)$$



o

$$\left[ \left( \hat{\sigma}_{el} \hat{\sigma}_{el}^+ - \hat{\sigma}_{el}^+ \hat{\sigma}_{el} \right) + \left( \hat{\sigma}_{in} \hat{\sigma}_{in}^+ - \hat{\sigma}_{in}^+ \hat{\sigma}_{in} \right) \right] + \left[ i \left( \hat{\sigma}_{in} \hat{\sigma}_{el}^+ - \hat{\sigma}_{el}^+ \hat{\sigma}_{in} \right) + i \left( \hat{\sigma}_{in}^+ \hat{\sigma}_{el} - \hat{\sigma}_{el} \hat{\sigma}_{in}^+ \right) \right] = 1 \quad (\text{A.10})$$

e

$$\left\{ \left[ \hat{\sigma}_{el}, \hat{\sigma}_{el}^+ \right] + \left[ \hat{\sigma}_{in}, \hat{\sigma}_{in}^+ \right] \right\} + \left\{ i \left[ \hat{\sigma}_{in}, \hat{\sigma}_{el}^+ \right] + i \left[ \hat{\sigma}_{in}^+, \hat{\sigma}_{el} \right] \right\} = 1 \quad (\text{A.11})$$

da eq. (A8a) e eq. (A8b), troviamo

$$\left\{ \hat{k}_{el}^2 = \hat{\sigma}_{el} \hat{\sigma}_{el}^+ = \hat{\sigma}_{el}^+ \hat{\sigma}_{el} \quad ; \quad \hat{k}_{in}^2 = \hat{\sigma}_{in} \hat{\sigma}_{in}^+ = \hat{\sigma}_{in}^+ \hat{\sigma}_{in} \quad \implies \quad \left\{ \left[ \hat{\sigma}_{el}, \hat{\sigma}_{el}^+ \right] = 0 ; \left[ \hat{\sigma}_{in}, \hat{\sigma}_{in}^+ \right] = 0 \right\} \right\} \quad (\text{A.12})$$

allora è evidente ( vedi l'eq. (A11)) che segue

$$\left\{ \left[ \hat{\sigma}_{in}, \hat{\sigma}_{el}^+ \right] = \frac{-i}{2} ; \left[ \hat{\sigma}_{el}, \hat{\sigma}_{in}^+ \right] = \frac{i}{2} \right\} \quad (\text{A.13})$$

Mentre da eq. (A1), (A5), (A6), (A7), (A8) ricaviamo

$$\left\{ \begin{aligned} \left( \hat{\sigma}_{in} \hat{\sigma}_{el}^+ - \hat{\sigma}_{el}^+ \hat{\sigma}_{in} \right) &= -\frac{1}{2} \\ \left( \hat{\sigma}_{el}^+ \hat{\sigma}_{in} - \hat{\sigma}_{in} \hat{\sigma}_{el}^+ \right) &= -\frac{1}{2} \end{aligned} \right. \quad (\text{A.14})$$

Se invece esaminiamo le alter equivalenti forme dell' IQuO date da

$$\left\{ \begin{aligned} \hat{a}_1^+(t) &= [(\hat{\sigma}_{el}^+ - i \hat{\sigma}_{in}^+)] \exp(i(\omega t)) \\ \hat{a}_1(t) &= [(\hat{\sigma}_{el} + i \hat{\sigma}_{in})] \exp(-i(\omega t)) \end{aligned} \right. \quad (\text{A.15})$$

Dove abbiamo scambiato un semi-quanto pieno con uno vuoto e viceversa; le seguenti parentesi di commutazione sono date:

$$\left\{ \left[ \hat{\sigma}_{el}, \hat{\sigma}_{el}^+ \right] = 0 ; \left[ \hat{\sigma}_{in}, \hat{\sigma}_{in}^+ \right] = 0 \right\} \quad (\text{A.16})$$

$$\left\{ \left[ \hat{\sigma}_{el}^{\text{w}}, \hat{\sigma}_{el}^{\text{sl}} \right] = \frac{\mathcal{J}}{-\mathcal{I}} ; \left[ \hat{\sigma}_{in}^{\text{sl}}, \hat{\sigma}_{in}^{\text{w}} \right] = \frac{\mathcal{J}}{\mathcal{I}} \right\} \quad (\text{A.17})$$

Se invece esaminiamo un IQuO del tipo:

$$\left\{ \begin{aligned} \hat{a}^+(t) &= [(\hat{\sigma}_{el}^+ - i \hat{\sigma}_{in}^+)] \exp(i(\omega t)) \\ \hat{a}_1(t) &= [(\hat{\sigma}_{el} + i \hat{\sigma}_{in})] \exp(-i(\omega t)) \end{aligned} \right. \quad (\text{A.18})$$

da eq. (45) e relazione (A1)

$$\left\{ \begin{aligned} E &= K + U \\ \hat{H} &= \frac{1}{2} \hbar \omega (\hat{k}_{el}^2 + \hat{k}_{in}^2) \equiv \frac{1}{2} \hbar \omega [(\bullet + o) + (\bullet + o)] \end{aligned} \right. \quad (\text{A.19})$$

otteniamo

$$\hat{a}^+ \hat{a} = (\hat{\bullet}_{el}^+ \hat{o}_{el} + \hat{\bullet}_{in}^+ \hat{o}_{in}) + i(\hat{\bullet}_{el}^+ \hat{o}_{in} - \hat{\bullet}_{in}^+ \hat{o}_{el})$$

$$\hat{k}_{el}^2 = \hat{\bullet}_{el}^+ \hat{o}_{el} \quad ; \quad \hat{k}_{in}^2 = \hat{\bullet}_{in}^+ \hat{o}_{in} \quad ; \quad (\hat{\bullet}_{el}^+ \hat{o}_{in} - \hat{\bullet}_{in}^+ \hat{o}_{el}) = -\frac{1}{2}$$
(A.20)

e

$$\hat{a} \hat{a}^+ = (\hat{o}_{el} \hat{\bullet}_{el}^+ + \hat{o}_{in} \hat{\bullet}_{in}^+) + i(\hat{o}_{in} \hat{\bullet}_{el}^+ - \hat{o}_{el} \hat{\bullet}_{in}^+)$$

$$\hat{k}_{el}^2 = \hat{o}_{el} \hat{\bullet}_{el}^+ \quad ; \quad \hat{k}_{in}^2 = \hat{o}_{in} \hat{\bullet}_{in}^+ \quad ; \quad (\hat{o}_{in} \hat{\bullet}_{el}^+ - \hat{o}_{el} \hat{\bullet}_{in}^+) = -\frac{1}{2}$$
(A.21)

Usando sempre la stessa procedura troviamo le seguenti parentesi di commutazione:

$$\left\{ \left[ \hat{o}_{in}, \hat{\bullet}_{el}^+ \right] = \frac{-i}{2} ; \left[ \hat{o}_{el}, \hat{\bullet}_{in}^+ \right] = \frac{i}{2} \right\}$$
(A.22)

Se invece abbiamo un IQuO della forma

$$\hat{a}^+(t) = [(\hat{o}_{el}^+ - i\hat{o}_{in}^+)(\exp(i\omega t))]$$

$$\hat{a}_1(t) = [(\hat{\bullet}_{el} + i\hat{\bullet}_{in})\exp(-i\omega t)]$$
(A.23)

Per simmetria avremo

$$\left\{ \left[ \hat{\bullet}_{in}, \hat{o}_{el}^+ \right] = \frac{-i}{2} ; \left[ \hat{\bullet}_{el}, \hat{o}_{in}^+ \right] = \frac{i}{2} \right\}$$
(A.24)

Riassumendo avremo

$$\left\{ \left[ \hat{o}_{el}, \hat{\bullet}_{el}^+ \right] = 0 ; \left[ \hat{\bullet}_{in}, \hat{o}_{in}^+ \right] = 0 \right\} \quad ; \quad \left\{ \left[ \hat{\bullet}_{in}, \hat{\bullet}_{el}^+ \right] = \frac{-i}{2} ; \left[ \hat{o}_{el}, \hat{o}_{in}^+ \right] = \frac{i}{2} \right\}$$

$$\left\{ \left[ \hat{\bullet}_{el}, \hat{o}_{el}^+ \right] = 0 ; \left[ \hat{o}_{in}, \hat{\bullet}_{in}^+ \right] = 0 \right\} \quad ; \quad \left\{ \left[ \hat{o}_{in}, \hat{\bullet}_{el}^+ \right] = \frac{-i}{2} ; \left[ \hat{o}_{el}, \hat{\bullet}_{in}^+ \right] = \frac{i}{2} \right\}$$

$$\left\{ \left[ \hat{o}_{el}, \hat{\bullet}_{el}^+ \right] = 0 ; \left[ \hat{o}_{in}, \hat{\bullet}_{in}^+ \right] = 0 \right\} \quad ; \quad \left\{ \left[ \hat{o}_{in}, \hat{\bullet}_{el}^+ \right] = \frac{-i}{2} ; \left[ \hat{o}_{el}, \hat{\bullet}_{in}^+ \right] = \frac{i}{2} \right\}$$

$$\left\{ \left[ \hat{\bullet}_{el}, \hat{o}_{el}^+ \right] = 0 ; \left[ \hat{\bullet}_{in}, \hat{o}_{in}^+ \right] = 0 \right\} \quad ; \quad \left\{ \left[ \hat{\bullet}_{in}, \hat{o}_{el}^+ \right] = \frac{-i}{2} ; \left[ \hat{\bullet}_{el}, \hat{o}_{in}^+ \right] = \frac{i}{2} \right\}$$
(A.25)

References:

- [1] : J. J. Sakurai in *Meccanica Quantistica Moderna*, edit by Zanichelli 1990, pp. 88-94
- [2] : A.S. Davidov in *Meccanica Quantistica*, edit by Edizioni Mir 1981, pp. 243-247
- [3] Schiff, I in "*Quantum Mechanics*" 2d ed. International Series in Pure and Applied Physics, McGraw-Hill Company, Inc New York 1955

